

## ارتباط پروتئین‌های GSK3 $\beta$ و $\beta$ -catenin با رویدادهای آپوپوتیک تخدان طبیعی و تخدان پلی‌کیستیک القا شده با تستوسترون پروپیونات در رت

ندا جروقی (M.Sc.), قمرتاج حسین (Ph.D.), فرناز جان نثاری لادانی (M.Sc.)  
- گروه فیزیولوژی جانوری، دانشکده زیست‌شناسی، پردیس علوم، دانشگاه تهران، تهران، ایران

### چکیده

زمینه و هدف: مسیر سیگنال‌دهی Wnt نقش مهمی در فولیکولوژن تخدان جوندگان ایفا می‌کند. ولی نقش آن در رویدادهای آپوپوتیک تخدان تاکنون مورد بررسی قرار نگرفته است. نظر به اهمیت آپوپتوز در هموستاز و عملکرد بیولوژیک تخدان، در این مطالعه به بررسی دخالت سیگنال‌دهی Wnt/ $\beta$ catenin در توقف رشد فولیکولی و آپوپتوز در مدل PCO موش بزرگ آزمایشگاهی (رت) پرداخته شده است.

روش بررسی: القا PCO در رت‌های ماده نابالغ توسط تزریق روزانه تستوسترون پروپیونات (TP) حل شده در روغن کنجد به مدت یک و یا چهار هفته انجام و به گروه کنترل در طی این مدت حلال تزریق شد. آزمایشها در ۳ سری مستقل طراحی شدند. در هر سری هشت رت برای هر دوره زمانی (یک و چهار هفته) مورد بررسی قرار گرفت که به دو گروه چهار تایی تیمار شده و کنترل تقسیم شدند. پس از اتمام دوره تیمار، تخدانها تشییت و برش‌های پارافینی پیاپی جهت آنالیز ایمونوهویستوشیمی pGSK3 $\beta$ , GSK3 $\beta$  و Sfrp4 آماده گردید. بررسی بیان TUNEL و سپس شمارش فولیکول‌های آپوپوتیک در هر signaing گروه انجام شد. بررسی آپوپتوز با استفاده از U-test Mann-Whitney مورد تجزیه و تحلیل قرار گرفت. اختلاف آماری در سطح  $p < 0.05$  معنی‌داری در نظر گرفته شده و میانه نیز محاسبه و ذکر گردید.

نتایج: در بررسی هیستولوژی تخدان رت‌های تیمار شده فولیکول‌های کیستیک، عدم وجود جسم زرد و تخمک‌گذاری مشاهده گردید. بیان GSK3 $\beta$  در فولیکول‌های آپوپوتیک گروه PCO و کنترل مشاهده و هم مکانی بین  $\beta$ -catenin هسته‌ای با pGSK3 $\beta$   $^{Ser9}$  در رت‌های تیمار یک هفت‌های و گروه کنترل دیده شد. بررسی به روش TUNEL نشانگر افزایش معنی‌دار ( $p < 0.01$ ) میزان آپوپتوز در تمامی دستجات فولیکول‌های تخدان رت‌های تیمار دراز مدت (چهار هفته) نسبت به تیمار یک هفت‌های بود. در تیمار دراز مدت با TP، افزایش آپوپتوز و بیان بالای GSK3 $\beta$  در سلول‌های گرانولوزا همراه با افزایش ۱/۵ بار بیان Sfrp4 در مقایسه با کنترل مشاهده شد که می‌تواند دلیلی برای عدم حضور  $\beta$ -catenin هسته‌ای در این سلولها باشد.

نتیجه‌گیری: نتایج مطالعه حاضر نشانگر القا تخدان پلی‌کیستیک در رت نابالغ با استفاده از TP است. علاوه بر این افزایش بیان GSK3 $\beta$  و Sfrp4 در تیمار دراز مدت با TP وابسته به افزایش آپوپتوز بوده است. این نتایج می‌توانند نشانگر مهار مسیر Wnt signaling در رویدادهای آپوپوتیک تخدان جوندگان باشد.

کلید واژگان: آپوپتوزیس، تخدان پلی‌کیستیک (PCO)، تستوسترون، Sfrp4، GSK3 $\beta$ ,  $\beta$ -catenin, Wnt signaling.

مسئول مکاتبه: دکتر قمرتاج حسین، گروه فیزیولوژی جانوری، دانشکده زیست‌شناسی، پردیس علوم، دانشگاه تهران، صندوق پستی: ۱۴۱۰۵-۶۴۰۰، تهران، ایران

پست الکترونیک: ghossein@khayam.ut.ac.ir

دریافت: ۸۷/۲/۲۵ پذیرش: ۸۷/۶/۱۶

کمپلکس β-catenin و APC متصل می‌شود و با فسفریلاسیون β-catenin منجر به تخریب سریع آن توسط فرآیند Ubiquitination می‌شود (۱). کنترل فعالیت Wnt signaling نه تنها وابسته به نوع کمپلکس Wnt-fzd است، بلکه توسط آنتاگونیست‌های ایش نیز تنظیم می‌گردد (۲). بزرگترین خانواده آنتاگونیست Wnt، Sfrps<sup>۶</sup> است که تاکنون پنج نوع آن (-2,-3,-4,-5) گزارش شده و چگونگی مکانیسم اثر این آنتاگونیست‌ها تحت بررسی است. گزارش‌ها حاکی از نقش آنتاگونیستی Sfrps به دلیل قابلیت اتصال آنها از یک طرف به مولکول‌های Wnt و از طرف دیگر به رسپتورهای fzd می‌باشد و بدین ترتیب از ایجاد کمپلکس Wnt-fzd جلوگیری به عمل می‌آورد (۳). به تازگی نقش آگونیستی نیز برای Sfrp1 گزارش شده است به طوری که نوع فعالیت آن بسته به میزان غلظت آن دارد؛ یعنی در غلظت پایین باعث پیشبرد Wnt/β-catenin signaling و در غلظت بالا باعث مهار آن می‌شود (۴). بنابراین با توجه به انواع Wnt و رسپتورها و همچنین آنتاگونیست‌های ایش چنین به نظر می‌رسد که فعالیت مسیر Wnt signaling در تخدان تحت تأثیر هورمون‌های مختلف اثرات فیزیولوژیکی مختلفی را به همراه داشته باشد.

برهم کنش آبشارهای سیگنال‌دهی هورمون‌های پیتیدی و استروئیدی، برای رشد فولیکولی، تخمک‌گذاری و تشکیل جسم زرد حیاتی است. از جمله مهم‌ترین مسیرهای سیگنال‌دهی که در تکوین راههای تناسلی ماده و در اعمال طبیعی تخدان نقش دارد مسیر سیگنال‌دهی Wnt است (۵). به تازگی نقش فعال Wnt سیگنال‌دهی در فرآیند فولیکول‌وژن تخدان جوندگان Wnt-4 و گزارش شده است. در این مطالعات افزایش بیان 4 و رسپتورهای fz-1 و fz-4 در سلول‌های گرانولوزا و تکا قبل از تخمک‌گذاری گزارش شده است (۶). از طرفی بیان بالای یک آنتاگونیست Wnt بنام Sfp-4 در جسم

## زمینه و هدف

خانواده مولکول‌های Wnt گلیکوپروتئین‌های ترشحی و دارای چندین بخش غنی و حفاظت شده سیستئینی می‌باشد که در فرآیندهای متنوعی مثل القایات جنینی، تعیین قطبیت سلولها و تعیین تخصصی شدن سرنوشت سلولها دخالت دارند. دریافت و ارسال سیگنال‌های Wnt در نتیجه اتصال پروتئین‌های Wnt به گیرندهای عرض غشایی خانواده fzd<sup>۱</sup> به کمک اعضای خانواده پروتئینها وابسته به گیرنده LDL<sup>۲</sup>، بنام LRP<sup>۳</sup> انجام می‌شود (۱). تاکنون ۱۹ نوع پروتئین Wnt و ۱۰ نوع گیرنده fzd<sup>۴</sup> شناخته شده است، این تنوع باعث پیچیدگی سیستم Wnt signaling شده، به طوری که آبشار درون سلولی Wnt signaling وابسته به ترکیب کمپلکس Wnt-fzd است (۱).

مسیر سیگنال‌دهی Wnt از طریق سه آبشار درون سلولی القا می‌شود که شامل ۱- مسیر اصلی<sup>۵</sup> Wnt/polarity، ۲- مسیر Wnt/β-catenin و ۳- مسیر Wnt/ca<sup>2+</sup> می‌باشد. در مسیر Wnt/β-catenin اتصال Wnt به fzd موجب هیپرفسفیریله شدن پروتئین سیتوپلاسمی به نام Dvl<sup>۶</sup> و منجر به مهار فعالیت سرین-ترؤنین کیناز به نام گلیکوژن سنتاز کیناز-3-Beta (GSK3-β) با فسفریله کردن آن در ناحیه Ser-9 می‌شود. این امر در نهایت منجر به آزادسازی و تثبیت β-catenin و در نتیجه افزایش آن در سیتوپلاسم سلول می‌شود. β-catenin وارد هسته شده و با اعضای می‌شود. (Tcf/Lef) از خانواده عوامل نسخه برداری هترودیمر می‌شود و بیان ژن‌های هدف از جمله cyclin-D1 و c-myc را تنظیم می‌کند. در حالیکه در غیاب مولکول‌های GSK3-β و Axin از طریق مولکولی به نام Wnt به

1- Frizzled

2- Low Density Lipoprotein

3- Low Density Lipoprotein Related Receptor Protein

4- Canonical

5- Dishevelled

6- Secreted frizzled- related protein

مکان سیتوپلاسمی و یا هسته‌ای  $\beta$ -catenin در سلول منوط به مهار فعالیت GSK3- $\beta$  با فسفریله شدن Ser-9 گزارش شده است (۱). لذا با استفاده از روش‌های ایمنوهیستوشیمیایی بیان و مکان سلولی pGSK3 $\beta$ <sup>Ser9</sup> و GSK3- $\beta$  مورد ارزیابی قرار گرفت و باستگی این پرتوئینها با فرآیند آپوپتوز در تخدان مورد بررسی قرار گرفت.

### روش بررسی

تیمار حیوانات: رت‌های ماده نابلغ از نژاد Wistar با وزن ۴۰-۵۰g از حیوانخانه دانشکده بهداشت دانشگاه علوم پزشکی تهران تهیه شدند. رتها در قفس‌های جداگانه در شرایط ۱۲ ساعت روشناختی و ۱۲ ساعت تاریکی و در محدوده حرارتی  $22\pm2^\circ\text{C}$  و دسترسی به مقادیر دلخواه آب و غذا نگهداری شدند.

موشها در سه سری مستقل تیمار شدند. تیمار و مطالعه در هر سری در دو گروه چهارتایی تیمار و کنترل انجام شد که در نهایت شامل دوازده نمونه تیمار (۱۱/۴ هفته) و دوازده نمونه کنترل (۱۱/۴ هفته) بود. گروه تیمار روزانه با تزریق زیرجلدی تستوسترون پروپیونات (TP) حل شده در روغن کنجد به میزان ۱mg به ازای هر ۱۰۰g وزن بدن به مدت یک و یا چهار هفته تیمار شدند (۱۲)، در مقابل به گروه کنترل در طی این مدت روغن کنجد تزریق شد. در پایان تیمار، حیوانات هر گروه کشته و یک تخدان برای مطالعات هیستولوژی، آنالیزهای ایمنوهیستوشیمی و آپوپتوزیس مورد استفاده قرار گرفت و تخدان دیگر بلا فاصله در ازت مایع منجمد شده و در دمای  $-70^\circ\text{C}$  به منظور ارزیابی وسترن بلات نگهداری شد.

آنالیز هیستولوژی: پس از تثبیت نمونه‌های بافتی در پارافرمالدھید ۴٪ حل شده در بافر فسفات (PBS) به مدت ۱۶-۱۴ ساعت، نمونه‌ها توسط محلول‌های الكل با درجات صعودی ۲۰٪ تا ۱۰۰٪ در هر کدام برای مدت

زرد مشاهده شده است که به نظر می‌رسد در عملکرد بیولوژیک جسم زرد و همچنین در تحلیل آن به‌واسطه رویدادهای آپوپتویک دخالت دارد (۷).

سندروم تخدان پلی کیستیک (PCOS)<sup>۱</sup> یکی از اختلالات هورمونی زنان در سنین باروری است که ۵ تا ۱۰٪ آنان را در این سنین شامل می‌شود. علائم این سندروم شامل پرمومی و آنکه که به دلیل تولید زیاد آندروژن است و نیز اختلالات قاعدگی، عدم تخم‌گذاری و ناباروری می‌باشد (۸). در توکف رشد فولیکولها و در نتیجه تجمع فولیکول‌های کوچک، وجود فولیکول‌های کیستیک و افزایش حجم استرومای تخدان مشاهده می‌شود. این سندروم در دراز مدت موجب اختلالات متابولیکی مانند دیابت نوع II، افزایش چربی خون، افزایش فشار خون و عارضه‌های قلبی-عروقی می‌شود (۹).

یافته‌های حاصل از ارزیابی انبوی بیان ژنها<sup>۲</sup> در زنان مبتلا به PCOS نشانگر اختلال سیگنال‌دهی Wnt در این بیماران است (۱۰). Wood و همکاران (۱۰) افزایش بیان DKK1<sup>۳</sup> و Sfrp4<sup>۴</sup> دو مولکول آنتاگونیست Wnt کاوش بیان Wnt5A را در سلول‌های تکا ایزوله شده زنان PCOS را نشان داده‌اند. ولیکن نقش مسیر سیگنال‌دهی  $\beta$ -catenin در رویدادهای آپوپتویک تخدان کاملاً ناشناخته و تاکنون گزارشی مبنی بر نقش اجزا Wnt signaling و ارتباط آنها با توکف رشد فولیکولها و آپوپتوزیس در PCOS ارائه نشده است. لذا در این مطالعه با ایجاد مدل PCOS در رت ابتدا تغییرات مورفولوژیکی ایجاد شده نسبت به گروه کنترل مقایسه شد. در مرحله دوم، با توجه به باستگی Sfrp4 با رویدادهای آپوپتویک (۱۱) و گزارش حاکی از افزایش بیان ژن آن در زنان PCOS (۱۰) آنالیز وسترن بلات Sfrp4 در مدل PCOS رت مورد بررسی قرار گرفت.

1- Polycystic Ovary Syndrome

2- Microarray Gene Profiling

3- Dickkopf 1

از کیت Vectastain ABComplex و نشانگر دی آمینوبنزیدین (DAB)، (Vector Laboratories, UK)، با ایجاد رسوب قهوه‌ای انجام گرفت. سپس آنالیز برشها با میکروسکوپ نوری (Axiophot Zeiss, Germany) (برای آنالیز انجام شد.

**ارزیابی TUNEL:** بازیابی آنتیژنی و بلوکه کردن مکان‌های اتصال غیراختصاصی به شرح بالا انجام شد. سپس برشها با مخلوط واکنش TUNEL (Roche, Germany) حاوی آنزیم Tdt و نوکلئوتیدهای نشاندار شده با فلورسینین به مدت ۲ ساعت در دمای ۳۷°C در اتاق تاریک و مرطوب انکوبه شدند. در کنترل منفی، برشها با مخلوط واکنش TUNEL در غیاب آنزیم Tdt انکوبه شدند. پس از شستشو در PBS، برشها در مجاورت ۴٪ BSA-PBS به مدت نیم ساعت مجاور و سپس با آنتی‌بادی ضد فلورسینین کونژوگه با HRP<sup>1</sup> به مدت ۲۰ دقیقه در ۳۷°C انکوبه شدند. آشکارسازی با استفاده از نشانگر DAB انجام شد، سپس برشها با هماتوکسیلین رنگ‌آمیزی شده و با میکروسکوپ نوری بررسی شدند.

**ارزیابی وسترن بلات:** در این آنالیز سه تخدان در هر گروه در یک لوله قرار داده و توسط محلول لیز بافت ۱۵۰ mM Tris-HCl، ۲ mM کلرید سدیم pH=7.2 (گلیسرول ۱۰٪، NP-40 ۱٪، سدیم فلوراید ۱۰ mM، سدیم PMSF ۱ mM، EDTA ۰.۵ mM) اورتووانادات به خوبی هموژن شد و سپس به مدت ۱۰ دقیقه با سرعت ۱۳۰۰۰ g در دمای ۴°C سانتریفیوژ و محلول شفاف فوقانی جهت آنالیز وسترن بلات استفاده گردید. جهت اندازه‌گیری میزان پروتئین موجود در نمونه‌ها، از معرف برادفورد (کوماسی بلو ۱۰٪، اتانل ۹۵٪ و ۱۰٪ اسید فسفویک ۸۵٪) استفاده شد. نمونه‌ها در ژل

۴۵ دقیقه تا یک ساعت آبگیری و سپس در الکل- زایلن (۵۰:۵۰) و زایلن (سه بار) شفافسازی و با پارافین قالب‌گیری شدند. سپس نمونه‌ها با میکروتووم به قطر ۷  $\mu m$  برش‌گیری و برشها بر روی لامهای پوشیده شده با ژلاتین یا پلی ال لایزین ۱٪ (برای آنالیز ایمنوهیستوشیمی) قرار داده شدند. به منظور بررسی هیستولوژی، برشها پس از پارافین زدایی و آبدهی توسط محلول‌های الکل با درجات نزولی، با هماتوکسیلین رنگ‌آمیزی شده و با محلول اسید- الکل تمایز یافته سپس با اوزین رنگ‌آمیزی و با میکروسکوپ نوری مورد بررسی قرار گرفتند.

**آنالیز ایمنوهیستوشیمی:** پس از پارافین زدایی و آبدهی برشها، برش‌های بافتی به منظور بازیابی آنتی‌ژنی، در بافر سیترات pH=۶ ۱۰ mM با مدت ۲۰ دقیقه در دمای ۹۰°C قرار گرفتند. حذف مکان‌های اتصال غیراختصاصی آنتی‌بادی اولیه با قرار دادن برشها در آلبوین سرم گاوی (سیگما) ۴٪ در PBS برای یک ساعت در دمای معمولی اتاق انجام شد. سپس برشها با آنتی‌بادی اولیه با قرار دادن برضد pGSK3 $\beta$ <sup>Ser9</sup> (Santa Cruz, USA) ۱:۳۰۰ (Santa Cruz, USA) Total GSK3 $\beta$  ۱:۳۰۰ خرگوش ضد- $\beta$ -catenin (اهدایی از طرف دکتر عرب نجفی، دانشگاه تهران) رقیق شده در ۴٪ BSA-PBS به مدت ۲۴ ساعت در ۴°C در اتاق مرطوب و در کنترل منفی، برشها فقط با محلول ۴٪ BSA-PBS انکوبه شدند. پس از شستشو در PBS مهار فعالیت پراکسیداز سلولی با قرار دادن لامها در محلول هیدروژن پراکسیداز ۰.۳٪ در متابول این این مدت ده دقیقه انجام شد. سپس لامها شسته و با آنتی‌بادی ثانویه برای  $\beta$ -catenin و آنتی‌بادی ثانویه برای GSK3 $\beta$ , pGSK3 $\beta$ <sup>Ser9</sup> همگی با رقت ۱:۳۰۰ به مدت یک ساعت در دمای معمولی اتاق در اتاق مرطوب انکوبه شدند. آشکارسازی با استفاده

1- Terminal deoxynucleotidyl transferase-mediated dUTP nick end labeling

2- Horseradish peroxidase

3- Phenyl Methyl Sulfonyl fluoride

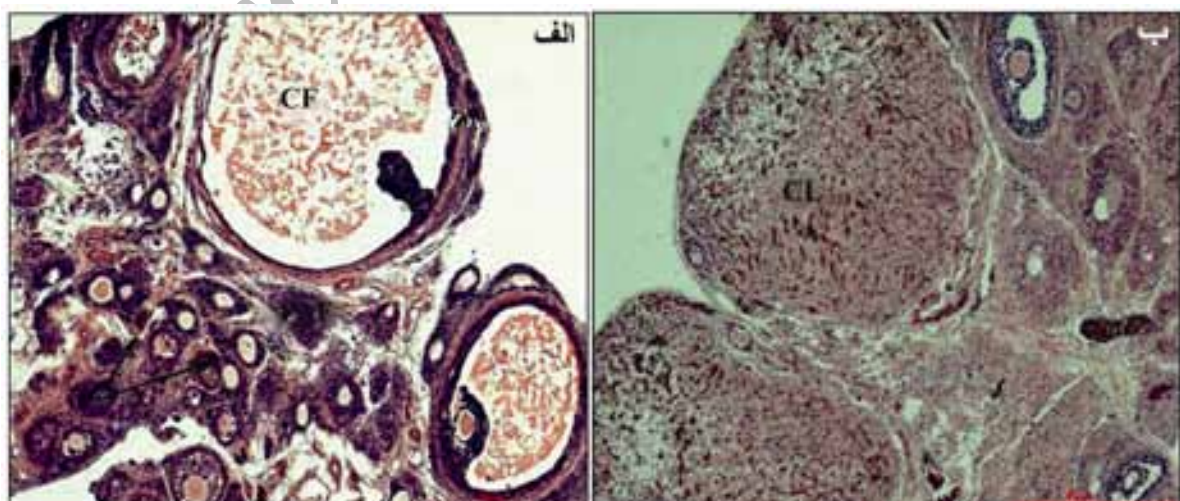
پروتئین نمونه‌ها در هر چاهک، غشاء با محلول ۲۵mM Glycine (pH=۲) به اضافه ۱٪ SDS استریپ شد و سپس با آنتی‌بادی پلی‌کلونال خرگوش ضد بتا اکتین (۱:۵۰۰) (Biovision, USA) انکوبه و آشکارسازی باندها به شرح بالا انجام شد. بررسی کمی میزان Sfrp4 با استفاده از دستگاه دانسیتومتری (Kodak, England) با استفاده TotalLab افزار صورت گرفت.

**آنالیز آماری:** برای آنالیز TUNEL و شمارش فولیکول‌های آپوپتویک آنالیز آماری با استفاده از نرم افزار SPSS و بکارگیری U-test Mann-Whitney انجام شد. ۰.۵ کم به عنوان اختلاف معنی‌دار محاسبه و میانه نیز محاسبه و گزارش شد.

## نتایج

**آنالیز هیستولوژیک:** در تخدان‌های تیمار ۱ هفته و چهار هفته با TP، ویژگی‌های PCO مانند فولیکول‌های بزرگ کیستیک، تعداد زیادی فولیکول کوچک پری‌آنترا، افزایش حجم استروم و عدم تخمک‌گذاری مشاهده شد (شکل ۱-الف). در گروه کنترل مربوط به تیمار یک هفته، تخدان‌ها فاقد کیست و در رت بالغ (گروه کنترل تیمار چهار هفته) تخدان‌ها مملو از جسم زرد بودند که نشان‌دهنده تخمک‌گذاری طبیعی در این

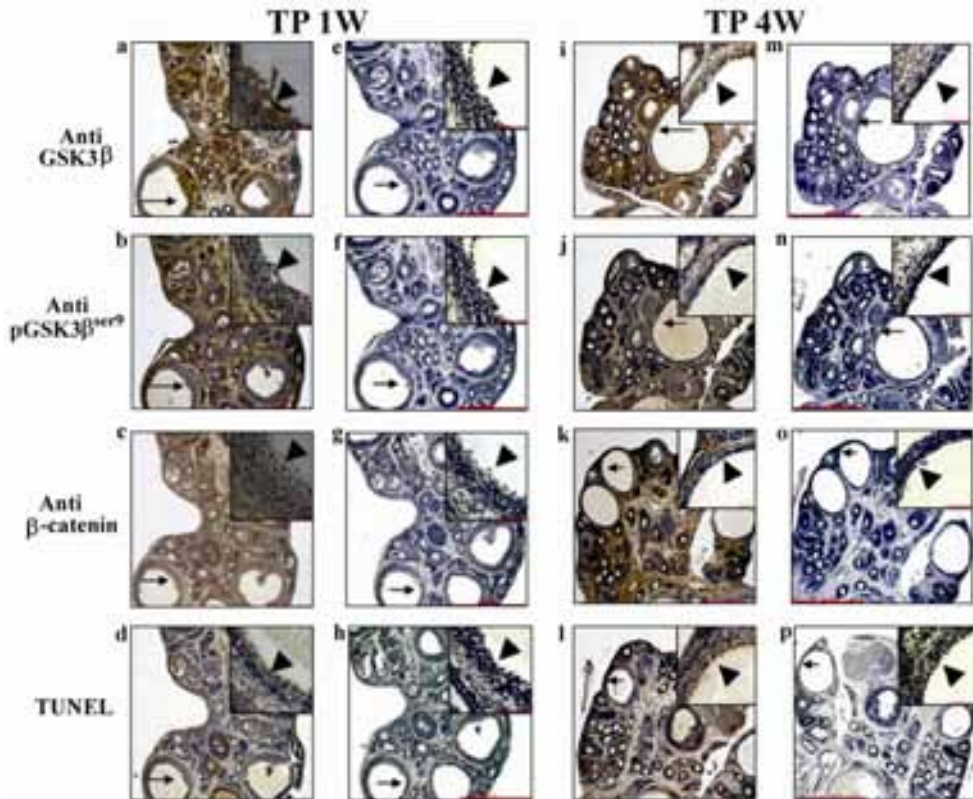
SDS-PAGE صحت الکتروفورز شدند. جهت بررسی رنگ‌آمیزی ژل توسط محلول روی-ایمیدازول (Imidazol 0.2 M+ ZnCl<sub>2</sub> 0.3M) به مدت ۵ دقیقه صورت گرفت و سپس جهت رنگ بری به مدت ۱۰ دقیقه در محلول ترانسfer (۰.۳٪ Tris-base + ۱/۴٪ glycine + ۱٪ متانول) شستشو داده شد. پروتئین‌های (BioRad, USA) بر روی PVDF منتقل به مدت ۹۰ دقیقه (۱۰ ولت) از ترانسfer چهت اطمینان از انتقال پروتئین‌ها شدند. پس از ترانسfer چهت اطمینان از انتقال پروتئین‌ها غشا با رنگ قرمز پونسو (قرمز پونسو ۴٪؛ اسید استیک ۸٪) رنگ و بعد از مشاهده باندها، غشا با آب مقطر شستشو و یک ساعت در دمای اتاق با محلول Top PBS قرار داده (Jura, Switzerland) در ۲/۵ block شد. سپس با آنتی‌بادی پلی‌کلونال خرگوش ضد Sfrp4 (۱:۱۰۰۰) (اهدائی پروفسور Friis از دانشگاه برن، سوئیس) در دمای ۴°C به مدت یک شب‌انه روز انکوبه شد. پس از شستشوی غشا با PBS آنتی‌بادی ثانویه (USACell Signaling, ) HRP (کونژوگه با ECL Millipore, USA) به مدت یک ساعت بر روی غشا قرار گرفت و جهت ظهور باندها از محلول استفاده شد. به منظور اطمینان از یکسان بودن میزان



شکل ۱- آنالیز هیستولوژیک تخدان رت‌های تیمار شده با TP در مقایسه با کنترل: برش‌های تخدانی رنگ‌آمیزی شده با هماتوکسیلین و ائوزین (الف)

تخدان حیوانات تیمار شده با TP حاوی فولیکول‌های کیستیک بزرگ و تعداد زیادی فولیکول‌های پری‌آنترا کوچک (فلشها) است. ب) تخدان گروه

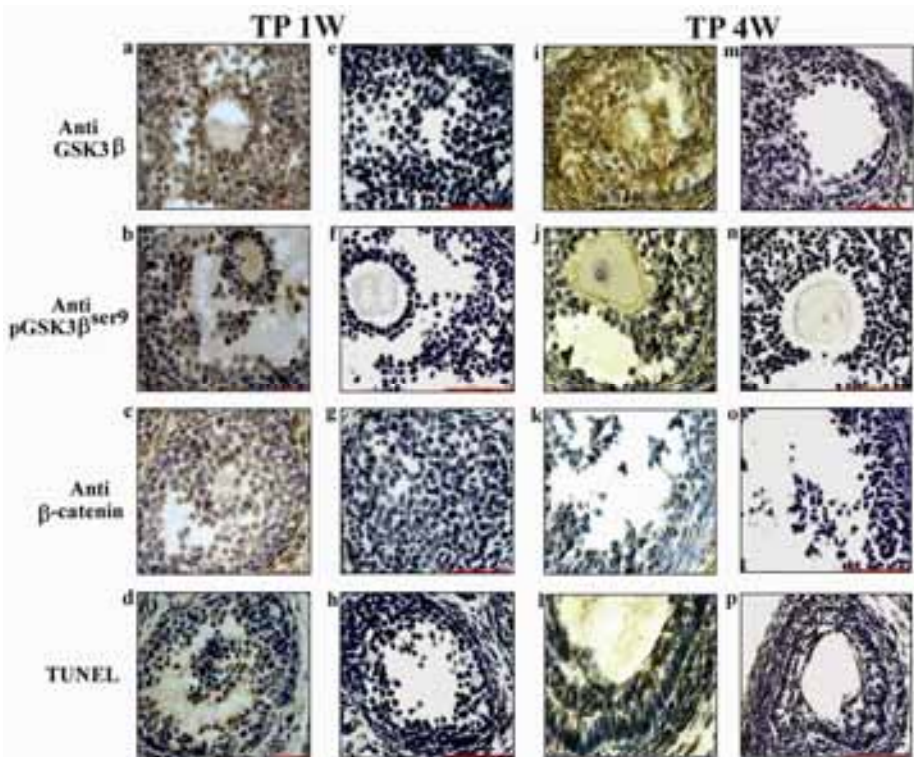
کنترل رت بالغ مملو از جسم زرد می‌باشد. PAF: Preantral Follicle CF: Cystic Follicles; CL: Corpus Luteum Bar=50 $\mu$ m



شکل ۲- ایمنولوکالیزاسیون GSK3 $\beta$  و pGSK3 $\beta^{\text{Ser}9}$  و  $\beta$ -catenin و ارتباط آنها با آپوپتوز در رت PCO برشهای متوالی تخدان موش‌های تیمار شده با TP برای یک هفته (ستون اول) و چهار هفته (ستون سوم) با آنتی‌بادی‌های قید شده مورد بررسی قرار گرفتند. فلشها سلول‌های گرانولوزای رو به آنتروم در کیستها را که در بزرگنمایی داخلی هر عکس نشان داده شده‌اند، نشان می‌دهند. کنترل منفی برای  $\beta$ -catenin و pGSK3 $\beta^{\text{Ser}9}$  در ستون دوم عکس نشان داده شده‌اند، نشان می‌دهند. Bar = 0.8  $\mu\text{m}$  و چهارم به ترتیب نشان داده شده است. Bar = 50  $\mu\text{m}$

(شکل ۲d و بزرگنمایی داخل آن). در تخدان تیمار چهار هفته‌ای با TP، بیان GSK3 $\beta$  در تمام بخش‌های تخدان قوی‌تر از تیمار یک هفته‌ای بود، و بیان آن در فولیکول‌های اولیه و نخستین نیز دیده می‌شد (شکل ۲i) و بزرگنمایی داخل آن). بیان قویتر GSK3 $\beta$  در تیمار چهار هفته‌ای نسبت به تیمار یک هفته‌ای با افزایش معنی‌دار درصد آپوپتوز ( $100\%/\text{در مقابل } 38\%$ ) ( $p < 0.001$ ) همراه بود (میانه تیمار چهار هفته‌ای ۱ و تیمار یک هفته‌ای  $25/0.001$  محاسبه شد؛ شکل ۲d در مقایسه با ۲i). شکل ۲a و ۲i به ترتیب بیان قوی GSK3 $\beta$  را در یک فولیکول پری آنترال آپوپتویک (شکل ۲d و ۲i) در تیمار یک هفته و چهار هفته با TP را نشان می‌دهند. این مشاهدات نشان داد که تیمار طولانی مدت با تستوسترون باعث افزایش معنی‌دار آپوپتوز نسبت به تیمار یک هفته ( $p < 0.001$ ) همراه با افزایش

گروه است (شکل ۱-ب). ایمنولوکالیزاسیون GSK3 $\beta$  و pGSK3 $\beta^{\text{Ser}9}$  و  $\beta$ -catenin و ارتباط آنها با آپوپتوز؛ تاکنون شواهدی برای دخالت GSK3 $\beta$  در فرآیند آپوپتوز تخدانی گزارش نشده و نظر به اهمیت آپوپتوزیس فیزیولوژیک در هموستانز تخدان، نقش GSK3 $\beta$  در این روند مورد بررسی قرار گرفت که در تخدان تیمار یک هفته‌ای با TP، پروتئین GSK3 $\beta$  در تمام مقاطع فولیکولی و استرومای در سیتوپلاسم و یا هسته بیان گردید؛ ولی شدت بیان آن در فولیکول‌های کوچک (نخستین، اولیه و پیش آنترال کوچک) کمتر از فولیکول‌های پیش آنترال بزرگ و آنترال بود (شکل ۲a). سلول‌های گرانولوزا رو به حفره آنتروم بیان GSK3 $\beta$  هسته‌ای و یا سیتوپلاسمی را نشان می‌دهند (شکل ۲a و بزرگنمایی داخل آن)، که کاملاً هم مکان با آپوپتوز رخ داده در این سلول‌ها می‌باشد

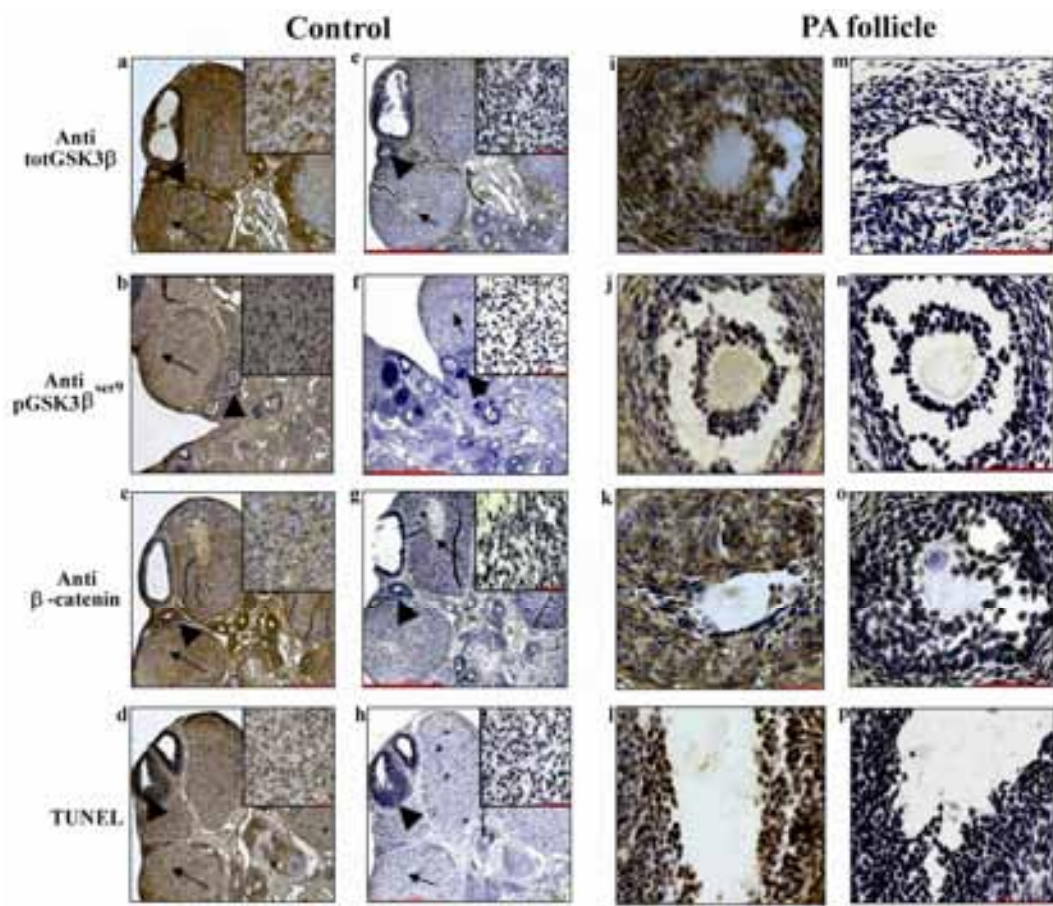


شکل ۳- آنالیز ایمنوھیستوشیمیک GSK3 $\beta$  و pGSK3 $\beta$ <sup>Ser9</sup> در فولیکول پری آنترال آپوپوتیک رت برشهای پیاپی تخدان تیمار یک هفته (ستون اول) و چهار هفته (ستون سوم)، کنترل منفی برای GSK3 $\beta$ :  
Bar=0.8 $\mu$ m.

در گروه کنترل نیز بیان GSK3 $\beta$  در فولیکول‌های آنترال، جسم زرد، استرومای (شکل a) و پیش آنترال بزرگ (شکل z) دیده شد و مانند تخدان موش‌های تیمار شده، pGSK3 $\beta$ <sup>Ser9</sup> به میزان کمتری نسبت به GSK3 $\beta$  در سیتوپلاسم سلول‌های لوთئال بزرگ و سلول‌های آندوتیال دیده شد (شکل z و b). هم مکانی GSK3 $\beta$  در سلول‌های آپوپوتیک در شکل e و d نشان داده شده است. آنالیز TUNEL تخدان رت نابالغ (کنترل تیمار یک هفته‌ای) در مقایسه با رت بالغ (کنترل تیمار چهار هفته‌ای) نشانگر درصد بالای آپوپتوز در رت بالغ (۲۲٪) نسبت به کنترل رت نابالغ (۱۰٪) بوده (میانه کنترل رت بالغ ۰/۴۸ و رت نابالغ ۰/۹ محاسبه شد) که این نتیجه کاملاً منطبق با افزایش بیان GSK3 $\beta$  در تخدان رت‌های بالغ در مقایسه با تخدان رت‌های نابالغ بود.

E-cadherin در چسبندگی سلولی

بیان GSK3 $\beta$  می‌شود. مشاهده افزایش بیان GSK3 $\beta$  می‌تواند همراه با افزایش فرم فسفویله آن نیز باشد. از آنجایی که فرم فسفویله GSK3 $\beta$  یعنی فرم غیر فعال آن، نقش بسزایی در برآهاندازی مسیر Wnt/βcatenin و یا برآهاندازی Fas/Fas ligand در مسیر آپوپتوز خارجی ایفا می‌کند (۱۲)، بنابراین جایایی آن در بررسی‌های پیاپی دنبال شد. در تیمار یک هفته‌ای هم مکانی بین GSK3 $\beta$  و pGSK3 $\beta$ <sup>Ser9</sup> در سلول‌های گرانوزا آپوپوتیک رو به حفره (بزرگنمایی داخل شکل‌های ۲b و ۲a) و نیز در فولیکول پری آنترال آپوپوتیک دیده شد (شکل b و ۳a). در حالیکه در تیمار دراز مدت با TP رنگ‌آمیزی پسیار ضعیف pGSK3 $\beta$ <sup>Ser9</sup> در بعضی از سلول‌های آپوپوتیک دیده می‌شود (شکل z و i) بر مبنای این مشاهدات به نظر می‌رسد که مهار GSK3 $\beta$  در تیمار طولانی مدت با تستوسترون کاهش می‌یابد.



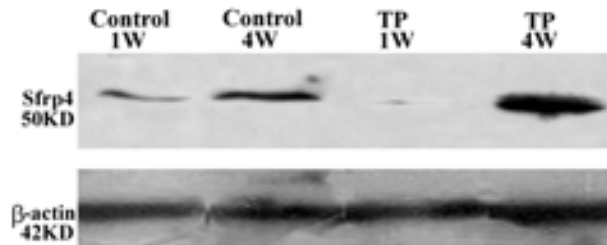
شکل ۴- آنالیز ایمنوهیستوشیمی GSK3 $\beta$  و  $\beta$ -catenin، pGSK3 $\beta$ <sup>Ser9</sup>. تخدان رتهای بالغ ستون اول دید کلی تخدان با بزرگنمایی کوچک، فلشها جسم زرد و نوک فلشها یک فولیکول پری آنترال را در هر عکس نشان می‌دهند. ستون سوم رنگ‌آمیزی فولیکولهای پیش آنترال (PA) را نشان می‌دهد. عکسهای ضمیمه بزرگنمایی بالا را از مکان مشخص شده با فلش را نشان می‌دهند. کنترل منفی برای GSK3 $\beta$ : pGSK3 $\beta$ <sup>Ser9</sup> و  $\beta$ -catenin: PA: Preantral Bar=0.8 $\mu m$  Bar=50 $\mu m$  و بزرگنمایی‌های داخلی داده شده است. TUNEL درستون دوم و چهارم به ترتیب نشان داده شده است.

مدت با تستوسترون باعث مهار و یا اختلال این مسیر شده است. ارزیابی انبوی بیان ژنهای در سلول‌های تکا زنان PCO نشان‌دهنده افزایش بیان Sfrp4 بوده است (۱۰). در بررسی ایمنوهیستوشیمیک انجام شده در آزمایشگاه، ما بیان افزایش یافته Sfrp4 را در تیمار دراز مدت در سطح سلول‌های گرانولوزا، تکا و استروم مشاهده کردیم (نتایج نشان داده نشده‌اند) بنابر نتایج بدست آمده در این مطالعه، در ادامه این طرح بررسی کمی بیان Sfrp4 در تخدان کنترل و PCO و ارتباطش با GSK3 $\beta$  و  $\beta$ -catenin انجام شد.

بررسی بیان Sfrp4 در تخدان کنترل و PCO: ارزیابی وسترن بلات Sfrp4 و بررسی کمی آن نشانگر ۲/۷ بار

نقش دارد. بنابراین همانطور که انتظار می‌رفت در تخدان‌های موش‌های تیمار شده و کنترل نیز رنگ‌آمیزی ایمنوهیستوشیمیک قوی دیده شد، ولیکن بیان سیتوپلاسمی و هسته‌ای  $\beta$ -catenin فقط در سلول‌های آپوپوتیک دیده می‌شود (شکل ۲ و ۳ اردیف سوم). نکته جالب توجه کاوش شدت رنگ‌آمیزی pGSK3 $\beta$ <sup>Ser9</sup> در فولیکول‌های  $\beta$ -catenin همانند آپوپوتیک تیمار چهار هفته‌ای نسبت به یک هفته‌ای می‌باشد (شکل ۲C در مقایسه با ۲k و شکل ۳C در مقایسه با ۳k). براساس نتایج حاصل فسفریلاسیون GSK3 $\beta$  می‌تواند به دنبال فعل شدن مسیر Wnt/ $\beta$ catenin باشد که به نظر می‌رسد تیمار دراز

پروتئین tau در میکروتوبولها،  $\beta$ -catenin در مسیر Wnt signaling، عوامل رونویسی و پروتئین‌های دخیل در چرخه سلولی نیز از جمله سوبستراهای این کیناز شناخته شده‌اند (۱۳، ۱۴). مطالعات متعدد نقش GSK3 $\beta$  را به عنوان عامل پیش برنده آپوپتوز در نورونها گزارش کرده‌اند (۱۵، ۱۶). این مطالعات نقش مستقیم GSK3 $\beta$  در مسیر میتوکندریایی آپوپتوز به‌واسطه فعال کردن پروتئین Caspase-3 و Bax را نشان داده‌اند (۱۷). از طرفی دیگر افزایش فرم فسفریله آن در به راه اندازی مسیر خارجی آپوپتوز NF (Fas-FasL) به‌واسطه کاهش بیان فاکتور بقا kappa-B در GSK3 $\beta$  گزارش شده است (۱۸). دخالت آپوپتوز با فعال کردن و افزایش ثبات P53 نیز گزارش شده است (۱۸). در این راستا لوکالیزاسیون هسته‌ای P53 در سلول‌های آپوپوتیک تخدان نشان داده شده است (۱۹) و در مطالعه حاضر نیز لوکالیزاسیون هسته‌ای GSK3 $\beta$  مشاهده شد؛ بنابراین GSK3 $\beta$  می‌تواند با اتصال به P53 نقش مهمی را در پیشبرد آپوپتوز در تخدان ایفا کند. تاکنون تنها یک مطالعه در مورد نقش GSK3 $\beta$  در رشد تخمک و فرآیندهای آپوپوتیک وابسته به آن در هیدر<sup>1</sup> گزارش شده است (۲۰) که نشانگر وابستگی افزایش بیان HyGSK3 (مشابه GSK3 $\beta$  در پستانداران) با رویدادهای آپوپوتیک در سلول‌های احاطه کننده تخمک بوده است. براساس نتایج مطالعه حاضر چنین به نظر می‌رسد که GSK3 $\beta$  در تخدان یک نقش حفاظت شده را در پیشبرد آپوپتوز ایفا می‌کند. از طرف دیگر فعالیت مسیر FSH Protein kinase B/Akt تحت تأثیر سیگنال‌دهی GSK3 $\beta$  نقش مهمی را در بقای سلول و جلوگیری از آپوپتوز دارد (۲۱). نتایج مطالعه حاضر مبنی بر افزایش درصد آپوپتوز در مدل PCO همراه با رنگ‌آمیزی بسیار ضعیف pGSK3 $\beta$ <sup>Ser9</sup> در تیمار دراز مدت با TP می‌تواند



شکل ۵- آنالیز وسترن بلات Sfrp4 در تخدان PCO و کنترل: عصاره تخدان رتها با آنتی‌بادی ضد Sfrp4 با روش وسترن بلات بررسی شد. از آنتی‌بادی ضد  $\beta$ -actin به عنوان استاندارد داخلی استفاده گردید.

افزایش میزان آن در تخدان کنترل رت بالغ نسبت به کنترل رت نابالغ بود (شکل ۵). تیمار دراز مدت تستوسترون باعث افزایش ۵/۱ برابر بیان Sfrp4 در تخدان رتها تیمار چهار هفته‌ای نسبت به میزان آن در کنترل یک هفته‌ای بوده است (شکل ۵). میزان افزایش Sfrp4 در تیمار دراز مدت نسبت به کنترل رت بالغ ۵/۱ می‌باشد. در حالیکه میزان Sfrp4 در تخدان تیمار یک هفته‌ای نسبت به کنترل نابالغ کاهش ۰/۶ بار را نشان می‌دهد (شکل ۵).

## بحث

تنظیم دقیق وقوع رویدادهای آپوپوتیک در تکوین و هموستازی تخدان بسیار حائز اهمیت است. تاکنون مطالعه‌ای مبنی بر اختلال مسیر سیگنال دهی Wnt در توقف رشد فولیکولی و یا آپوپتوز، در مدل رت PCO القا شده با TP گزارش نشده است. بنابراین مطالعه حاضر به بررسی تاثیر تستوسترون روی بیان  $\beta$ -catenin GSK3 $\beta$  و مکان درون سلولی آپوپتوز در تخدان پرداخته است.

نتایج این مطالعه نشانگر همراهی GSK3 $\beta$  و  $\beta$ -catenin در رویدادهای آپوپوتیک تخدان رت است. در مطالعه حاضر افزایش بیان هسته‌ای و یا سیتوپلاسمی GSK3 $\beta$  در فولیکول‌های آپوپوتیک تخدان طبیعی و PCO مشاهده شد. GSK3 $\beta$  به عنوان یک سرین/ترئونین کیناز با سوبستراهای متعدد که اولین سوبسترا ای مشخص شده آن گلیکوزن سنتاز است؛ ولیکن امروزه

در چسبندگی بین سلولی گزارش شده است اما نقش مهمی را نیز در Wnt signaling می‌کند. Parakh و همکاران نقش مهم β-catenin را در مسیر سیگنال‌دهی FSH و القا آروماتاز را گزارش کرده‌اند. این مطالعه نشان داده است که فعالیت آروماتاز نیاز به اتصال β-catenin به ناحیه آغازگر ژن آروماتاز دارد (۲۷). گرچه Hsieh و همکاران تفاوتی در میزان β-catenin آزاد در سیتوپلاسم در موش بالغ نسبت به موش نابالغ مشاهده نکرده‌اند (۱). از طرف دیگر ثبات و تجمع هسته‌ای β-catenin در تومور زایی وابسته به افزایش فعالیت بعضی از مولکول‌های Wnt، ضروری گزارش شده است (۲۸). مطالعات محدودی نیز نقش پیش برنده آپوپتوز را برای β-catenin نشان داده‌اند (۲۹-۳۰). چنانچه در تخدان افزایش β-catenin آزاد را مرتبط با آپوپتوز گزارش کرده‌اند (۳۱).

در سلول‌های اپی‌تیال سطح تخدان افزایش بیان E-cadherin و در نتیجه کاهش میزان سیتوپلاسمیک و هسته‌ای β-catenin را مرتبط با ترانسفورماسیون و ایجاد تومور اپی‌تلیوم سطح تخدان گزارش کرده‌اند (۳۱). در سرطان تخدان نیز با وجود افزایش بیان آنرا در هسته سلول مشاهده نکرده‌اند و فقط به دور سلولها دیده شده است (۳۲). براساس گزارشها و نتایج به‌دست آمده در مطالعه حاضر که نشانگر لوکالیزاسیون سیتوپلاسمی و یا هسته‌ای β-catenin در سلول‌های آپوپتوتیک در تخدان رت‌های کنترل و تیمار یک هفت‌ای با TP می‌باشد، به نظر می‌رسد که افزایش سطوح β-catenin آزاد در سلول‌های گرانولوزا می‌تواند نقش مهمی را در پیشبرد آپوپتوز ایفا کند.

تاکنون پنج نوع Sfrps به عنوان آناتاگونیست Wnt signaling شناخته شده است (۳۳) که در میان آنها افزایش بیان Sfrp4 وابسته به رویدادهای آپوپتوتیک تخدان گزارش شده است (۳۴) ولیکن نقش غیر آپوپتوتیک و وابسته به لوتنینیزاسیون نیز برای آن

به دلیل مهار سیگنال‌دهی Akt باشد. گزارش جدید Constantinou و همکاران (۲۲) می‌تواند تاییدی برای این فرضیه باشد. آنها نشان داده‌اند که بیان بالای Sfrp4 در سلول‌های اپی‌تیال پستان باعث مهار فسفویلاسیون Akt می‌شود. با توجه به مطالعات انجام شده و نتایج حاضر در این مطالعه بررسی دقیق فعالیت پروتئین‌های دخیل در مسیر خارجی و یا داخلی آپوپتوز و یا پروتئین‌های تنظیم کننده چرخه سلولی و ارتباط آنها با GSK3 $\beta$  امکان درک بهتر نقش GSK3 $\beta$  را در رویدادهای آپوپتوتیک تخدان را فراهم می‌کند. همچنین استفاده از پروتئین Sfrp4 امکان درک مکانیسم اثر Sfrp4 روی مسیرهای سیگنال‌دهی مهمی مانند Wnt و Akt را در تخدان می‌دهد.

تاکنون اطلاعات واضحی راجع به اثر تستوسترون بر روی فسفویلاسیون و تغییر بیان کینازهای درون سلولی و یا اثرش بر روی بیان فاکتورهای رونویسی در تخدان گزارش نشده است. وجود گیرنده آندروژنها در سلول‌های گرانولوزا، استروم و اووسیت جوندگان گزارش شده است (۲۲، ۲۴). Tetsuka و همکاران بیان بالای رسپتور آندروژن را در کومولوس و سلول‌های گرانولوزای دیواره‌ای گزارش کرده‌اند (۲۳). نقش آندروژن، در رشد فولیکولها و افزایش تعداد فولیکول‌های کوچک به خصوص فولیکول‌های پیش آنترال قبلاً گزارش شده است (۲۵) و در مدل PCO رت نیز شاهد افزایش تعداد فولیکول‌های پیش آنترال بوده‌ایم. از طرف دیگر در جوندگان آندروژنها باعث افزایش آپوپتوز نیز می‌شود (۲۶). در نتایج حاضر نیز افزایش میزان آپوپتوز در رت‌های تیمار شده با TP در سلول‌های گرانولوزای رو به آنتروم، استروم و کومولوس که دارای رسپتور آندروژن هستند نسبت به کنترل مشاهده شد.

به عنوان جزیی از کمپلکس پروتئین β-catenin

GSK3 $\beta$  و  $\beta$ -catenin در رویدادهای آپوپتوتیک تخدان می‌باشد. افزایش بیان GSK3 $\beta$  کاملاً وابسته به آپوپتوز بوده در حالیکه به نظر می‌رسد ارتباط بین میزان آزاد در سلول و آپوپتوز بستگی به میزان  $\beta$ -catenin بیان Sfrp4 دارد. با توجه به اهمیت روز افزون درک بهتر مسیرهای دخیل در سیگنال‌دهی درون تخدانی و اهمیت آن در روند فولیکولوژنز بررسی مسیر و نقش دقیق Wnt signaling و همچنین ارتباطش با دیگر مسیرهای مهم سیگنال‌دهی مانند TGF $\beta$ -signaling، Hedgehog، Akt، POF و PCO، عارضه از کار افتادگی زودرس تخدان<sup>۱</sup> و یا در سندروم عدم تخمک‌گذاری فولیکول لوتنیزه (LUF)<sup>۲</sup> باشد.

### تشکر و قدردانی

نویسندهای این مقاله از سرکار خانم دکتر حوری سپهری و جناب آقای دکتر بهمن زینلی از گروه فیزیولوژی جانوری دانشگاه تهران برای حمایت و تشویق بی دریغ در انجام این طرح، سرکارخانم فاطمه رضایی برای کمک در تیمار حیوانات، سرکار خانم لادن دلفی Dr. A. de Agostini از دانشگاه آزمایشگاه فیزیولوژی جانوری و Dr. A. de Agostini از دانشگاه ژنو سوییس برای کمکها و حمایت بی دریغشان تشکر و قدردانی می‌نمایند. منابع مالی اجرای این طرح به شماره‌های ۰۶۰۴/۸۳۸۲۶ و ۰۱/۸۳۸۲۶ توسط دانشگاه تهران تامین گردیده است.

گزارش شده است (۷). آنالیز اینفوہیستوشیمی انجام شده در مطالعه حاضر نیز افزایش معنی‌دار بیان Sfrp4 وابسته به آپوپتوز در تیمار دراز مدت با TP نسبت به تیمار یک هفته‌ای و کنترل را نشان داده است (این نتایج در این مطالعه حاضر انتظار داشتند که کاهش محققین مطالعه حاضر انتظار داشتند که کاهش لوکالیزاسیون سیتوپلاسمیک و یا هسته‌ای  $\beta$ -catenin و همچنین کاهش GSK3 $\beta$ <sup>Ser9</sup> در تیمار دراز مدت با TP در PCO باشد. بررسی کمی میزان بیان Sfrp4 و افزایش بیان آن در تیمار دراز مدت با TP نسبت به کنترل و تیمار یک هفته‌ای می‌تواند نشانگر مهار Wnt signaling در تیمار طولانی مدت باشد. از طرفی دیگر در ارزیابی و سترن بلات کاهش بیان Sfrp4 در تیمار یک هفته‌ای نسبت به کنترل آن قابل تأمل و ملاحظه می‌باشد. در همین راستا Uren و همکاران (۴) نشان داده‌اند که بیان کم Sfrp1 نقش آگونیست Wnt signaling و افزایش  $\beta$ -catenin هسته‌ای را به دنبال دارد؛ در حالیکه افزایش میزان بیان Sfrp1 باعث مهار Wnt signaling و کاهش چشمگیر میزان  $\beta$ -catenin آزاد می‌شود. بر پایه این گزارش شاید Sfrp4 نیز در تخدان بسته به میزان بیان Wnt signaling دوگانه‌ای را در تنظیم  $\beta$ -catenin کاهش می‌داند و همین دلیلی برای کاهش میزان آزاد در تیمار دراز مدت باشد.

### نتیجه‌گیری

نتایج مطالعه حاضر اولین گزارش دخالت مستقیم

## References

- Miller JR, The Wnts. *Genome Biol*. 2001;3(1):review.
- Kawano K, Kypta R. Secreted antagonists of the Wnt signalling pathway. *J Cell Sci*. 2003;116:2627-34.

1- Premature ovarian failure

2- Luteinized Unruptured Follicle Syndrome

- 3- Bovolenta P, Esteve P, Ruiz JM, Cisneros E, Rios JL, Beyond Wnt inhibition: new functions of secreted Frizzled-related proteins in development and disease. *J Cell Sci.* 2008;121:737-46.
- 4- Uren AU, Reichsman F, Anest V, Taylor WG, Muraiso K, Bottaro DP, et al. Secreted Frizzled-related Protein-1 binds directly to wingless and is a biphasic modulator of Wnt signaling. *J Biol Chem.* 2000;275:4374-82.
- 5- Richards SJ, Russel LD, Ochsner S. Novel signaling pathways that control ovarian follicular development, ovulation, luteinization. *Recent Prog Horm Res.* 2002; 57:195-220.
- 6- Hsieh M, Mulders SM, Friis RR, Dharmarajan AM, Richards JS. Expression and localization of secreted frizzled-related protein-4 in rodent ovary. *Endocrinology.* 2003;144:4597-606.
- 7- Hsieh M, Johnson MA, Greenberg NM, Richards JS. Regulated expression of Wnts and Frizzleds at specific stages of follicular development in the rodent ovary. *Endocrinology.* 2002;143:898-908.
- 8- Abbott DH, Dumesic DA, Franks S. Developmental origin of polycystic ovary syndrome- a hypothesis. *J Endocrinol.* 2002;174:1-5.
- 9- Ehrmann DA. Polycystic Ovary Syndrome. *N Engl J Med.* 2005;352:1223-36.
- 10- Wood RJ, Ho C, Nelson-Degrave V, McAlister J, Straus J. The molecular signature of Polycystic Ovary Syndrome theca cells defined by gene profiling. *J Reprod Immunol.* 2004;63:51-60.
- 11- Lacher MD, Siegenthaler A, Ger RJA, Yan XI, Hett S, Xuan L, et al. Role of DDC-4/sFRP-4, a secreted Frizzled-related protein, at the onset of apoptosis in mammary involution. *Cell Death Differ.* 2003;10:528-38.
- 12- Beloosesky R, Gold B, Almog Sasson R, Dantes A, Land-bracha A, Hirsh L, et al. Induction of polycystic ovary by testosterone in immature female rats: Modulation of apoptosis and attenuation of glucose/insulin ratio. *Int J Mol Med.* 2004;14:207-15.
- 13- Doble BW, Woodgett JR. GSK-3: tricks of the trade for a multi-tasking kinase. *J Cell Sci.* 2003;116:1175-86.
- 14- Grimes CA, Jope RS. The multifaceted roles of glycogen synthase kinase 3 $\beta$  in cellular signaling. *Prog Neurobiol.* 2001;65:391-426.
- 15- Beurel E, Jope RS. The paradoxical pro- and anti-apoptotic actions of GSK3 in the intrinsic and extrinsic apoptosis signaling pathways. *Prog Neurobiol.* 2006; 79:173-89.
- 16- Hetman M, Cavanova JE, Kimelman D, Xia Z. Role of glycogen synthase kinase-3 $\beta$  in neuronal apoptosis induced by trophic withdrawal. *J Neurosci.* 2000;20: 2567-74.
- 17- Linseman DA, Butts BD, Precht TA, Phelps RA, Le SS, Laessig TA, et al. Glycogen synthase kinase-3 $\beta$  phosphorylates Bax and promotes its mitochondrial localization during neuronal apoptosis. *J Neurosci.* 2004;24:9993-10002.
- 18- Watcharasit P, Bijur GN, Song L, Zhu J, Chen X, Jope RS. Glycogen Synthase Kinase-3 $\beta$  (GSK3 $\beta$ ) binds to and promotes the actions of P53. *J Biol Chem.* 2003;278:48872-9.
- 19- Tilly KL, Banerjee S, Banerjee PP, Tilly JL. Expression of the P53 and Wilms' tumor suppressor genes in the rat ovary: Gonadotropin repression in vivo and immunohistochemical localization of nuclear P53 protein to apoptotic granulosa cells of atretic follicles. *Endocrinology.* 1995;136:1394-402.
- 20- Rentzsch F, Hobmayer B, Holstein TW. Glycogen synthase kinase 3 has a proapoptotic function in Hydra gametogenesis. *Dev Biol.* 2005;278:1-12.
- 21- Zeleznik Anthony J, Saxena D, Little-Ihrig L. Protein kinase B is obligatory for follicle-stimulating hormone-induced granulosa cell differentiation. *Endocrinology.* 2008;144:3985-94.
- 22- Constantinou T, Baumann F, Lacher MD, Saurer S, Friis R, Dharmarajan A. SFRP-4 abrogates Wnt-3a-induced  $\beta$ -catenin and Akt/PKB signalling and reverses a Wnt-3a-imposed inhibition of in vitro mammary differentiation. *J Mol Signaling.* 2008;3:1-14.
- 23- Tetsuka M, Whitelaw PF, Bremner WJ, Millar MR, Smyth CD, Hillier SG. Developmental regulation of androgen receptor in rat ovary. *J Endocrinol.* 1995; 145:535-43.
- 24- Szoltys M, Slomczynska M. Changes in distribution of androgen receptor during maturation of rat ovarian follicles. *Exp Clin Endocrinol Diabetes.* 2000;108:228-34.
- 25- Steckler T, Wang J, Bartol FF, Roy SK, Padmanabhan V. Fetal programming: prenatal testosterone treatment causes intrauterine growth retardation, reduces ovarian reserve and increases ovarian follicular recruitment. *Endocrinology.* 2005;148:3185-93.
- 26- Billing H, Furutua I, Hsueh AJW. Estrogens inhibit and androgens enhance ovarian granulosa cell apoptosis. *Endocrinology.* 1993;133:2204-12.
- 27- Parakh TN, Hernandez JA, Grammer JC, Weck J, Hunzicker-Dunn M, Zeleznik AJ, et al. Follicle-stimulating hormone\_cAMP regulation of aromatase gene expression requires  $\beta$ -catenin. *Proc Natl Acad Sci USA.* 2006;103:12435-40.
- 28- Polakis P. The oncogenic activation of  $\beta$ -catenin. *Curr Opin Genet Dev.* 1999;9:15-21.
- 29- Kim K, Pang KM, Evans M, Hay ED. Overexpression of  $\beta$ -catenin induces apoptosis independent of its transactivation function with LEF-1 or the involvement of

major G1 cell cycle regulators. Mol Biol Cell. 2000;11: 3509-23.

30- Olmeda D, Castel S, Vilardo S, Cano A.  $\beta$ -catenin regulation during the cell cycle: implications in G2/M and apoptosis. Mol Biol Cell. 2003;14:2844-60.

31- Pon YL, Wong AST. Gonadotropin and its role in the  $\beta$ -catenin/T-cell factor signaling pathway Expert Rev.

Endocrinol Metab. 2007;2:375-85.

32- Rask KN, Brannstrom M. Wnt signaling pathway in ovarian epithelial tumors: increased expression of  $\beta$ -catenin and GSK3 $\beta$ . J Cancer. 2003;89:1298-304.

33- Kawano Y, Kypta R. Secreted antagonists of the Wnt signalling pathway. J Cell Sci. 2003;116:2627-34.

Archive of SID